

Для проверки предлагаемого метода по экспериментальным данным были составлены средние значения из восьми приемов измеренных и редуцированных расстояний по всем направлениям для 12, 14 и 16 ч и для периода спокойных изображений. Результаты исследований приведены в табл. 4.

Как видно из табл. 4, величины  $z$  значительно отличаются от  $z_n$ . Однако редуцированные зенитные расстояния близки к измеренным в периоды спокойных изображений. Причем расхождения редуцированных  $z_n$  для различного времени дня не превышают 3", что вполне соответствует точности собственно измерений зенитных расстояний.

Следовательно, метод редуцирования измеренных зенитных расстояний на периоды спокойных изображений позволяет исключать погрешности рефракционного происхождения.

**Список литературы:** 1. Джуман Б. М. О точности измерения зенитных расстояний в периоды спокойных изображений при ветре. — «Геодезия, картография и аэрофотосъемка», 1966, вып. 4. 2. Джуман Б. М. Определение вертикального градиента температуры геодезическим методом принейтральной стратификации в приземном слое воздуха. — «Геодезия, картография и аэрофотосъемка», 1974, вып. 20. 3. Изотов А. А., Пеллинер Л. П. Исследование земной рефракции и методов геодезического нивелирования. — «Тр. ЦНИИГАиК», 1955, вып. 102.

Работа поступила 26 мая 1977 года. Рекомендована кафедрой прикладной геодезии Львовского политехнического института.

УДК 528.551.542:517,564

Л. Н. ДЯЧИК

Львовский политехнический институт

## ВЫЧИСЛЕНИЕ БЕЗРАЗМЕРНЫХ ПАРАМЕТРОВ, ХАРАКТЕРИЗУЮЩИХ ПОТЕНЦИАЛ АТМОСФЕРЫ ЗЕМЛИ

Проф. Н. К. Мигаль обратил наше внимание на то, что параметры внешнего потенциала Земли являются в принципе величинами переменными, связанными с перераспределением атмосферных масс. Эта идея, использованная и в работе [3], позволила нам получить коэффициенты разложения аномалий атмосферного давления по сферическим функциям до четвертого порядка для 30 дат. Значения этих коэффициентов дали возможность вычислить безразмерные параметры  $\Delta C_{n0}$ ,  $\Delta C_{nm}$ ,  $\Delta d_{nm}$ , являющиеся, по сути дела, поправками в коэффициенты внешнего потенциала Земли за влияние атмосферы\*.

\* В литературе [5] известна формула, выражающая поправку в силу тяжести за влияние атмосферы. В отличие от формулы из [5], где учтено влияние стандартной атмосферы, мы далее занимаемся влиянием реальной атмосферы по ее состоянию, фиксируемому гидрометеорологическими наблюдениями.

Мы предполагаем, что земная атмосфера ската и сконденсирована на Земле в виде простого слоя толщиной  $b$ . На рисунке Земля принята за шар ( $\Sigma$  — поверхность Земли;  $d\sigma$  — элемент поверхности слоя).

Потенциал простого слоя выражается так [1]:

$$V = f \int \frac{\mu d\sigma}{r}, \quad (1)$$

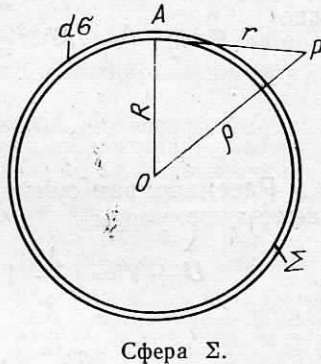
где  $\mu$  — поверхностная плотность распределения масс, или плотность простого слоя;  $f$  — постоянная тяготения,  $f = 66710^{-10} \text{ см}^3 \Gamma^{-1} \cdot \text{с}^{-2}$ .

Как известно,

$$\frac{1}{r} = \sum_{n=0}^{\infty} \frac{R^n}{\rho^{n+1}} P_n(\cos \psi). \quad (2)$$

Здесь  $R$  — радиус сферы,  $R = OA$ . Учитывая, что  $d\sigma = R^2 d\sigma_1$ , где  $d\sigma_1$  — элемент поверхности единичной сферы  $\Sigma_1$ , и

$$Y_n = f \int_{\Sigma} \mu R^n P_n(\cos \psi) d\sigma, \quad (3)$$



имеем

$$Y_n = f R^2 \int_{\Sigma_1} R^n \mu P_n(\cos \psi) d\sigma_1. \quad (4)$$

Потенциал атмосферы представим в виде

$$V = \sum_{n=0}^{\infty} \frac{Y_n}{\rho^{n+1}}. \quad (5)$$

Каждый член ряда (5) определяется по формуле

$$Y_n = b_n = \frac{2n+1}{4\pi} \int_{\Sigma_1} b P_n(\cos \psi) d\sigma_1, \quad (6)$$

где  $b$  — аномалии атмосферного давления. Введя обозначение  $dm = b \delta d\sigma_1$ , где  $\delta$  — плотность ртути и  $\delta b = \mu$ , запишем

$$\delta b_n = \frac{2n+1}{4\pi} \int_{\Sigma_1} \mu P_n(\cos \psi) d\sigma_1. \quad (7)$$

Подставляя значение интеграла из выражения (7) в выражение (4), получаем

$$Y_n = f R^{n+2} \frac{4\pi}{2n+1} \delta b_n. \quad (8)$$

Слагающая  $b_n$  выражается, обычно, через разложения аномалий атмосферного давления  $b$  по элементарным сферическим функциям

$$Y_n = b_n = \sum_{m=0}^n (A_{nm} \cos m\lambda + B_{nm} \sin m\lambda) P_n^m(\theta). \quad (9)$$

Тогда  $Y_n$  выразится так:

$$Y_n = \sum_{m=0}^n (a_{nm} \cos m\lambda + b_{nm} \sin m\lambda) P_n^m(\theta), \quad (10)$$

где

$$a_{nm} = A_{nm} f R^{n+2} \frac{4\pi}{2n+1} \delta; \quad b_{nm} = B_{nm} f R^{n+2} \frac{4\pi}{2n+1} \delta;$$

$$a_{n0} = A_{n0} f R^{n+2} \frac{4\pi}{2n+1} \delta. \quad (11)$$

Рассматривая суммарный потенциал твердой Земли и атмосферы, получаем

$$\begin{aligned} U + V = & f \frac{M}{\rho} \left\{ 1 + \sum_{n=1}^{\infty} \left( \frac{a_0}{\rho} \right)^n [C_{n0} + \Delta C_{n0}] P_n(t) + \right. \\ & + \sum_{n=1}^{\infty} \left( \frac{a_0}{\rho} \right)^n \sum_{m=1}^n C_{ns} + \Delta C_{nm} [\cos m\lambda P_n^m(\theta)] + \\ & \left. + \sum_{n=1}^{\infty} \left( \frac{a_0}{\rho} \right)^n \sum_{m=1}^n d_{ns} + \Delta d_{nm} [\sin m\lambda P_n^m(\theta)] \right\}. \end{aligned} \quad (12)$$

Здесь  $R = a_0$  — экваториальный радиус «общего земного эллипсоида»;  $M$  — масса Земли;  $f$  — постоянная тяготения Земли. Членом  $f \frac{m_1}{\rho}$  вследствие его малости можем пренебречь ( $m_1$  — масса атмосферы Земли).

Теперь видим, что:

$$\frac{a_{nm}}{f Ma_0^n} = \Delta C_{nm}; \quad \frac{b_{nm}}{f Ma_0^n} = \Delta d_{nm}; \quad \frac{a_{n0}}{f Ma_0^n} = \Delta C_{n0}; \quad (13)$$

$$\frac{A'_{n0}}{f Ma_0^n} = C_{n0}; \quad \frac{A'_{nm}}{f Ma_0^n} = C_{ns}; \quad \frac{B'_{nm}}{f Ma_0^n} = d_{ns}. \quad (14)$$

Здесь  $A'_{n0}$ ,  $A'_{nm}$ ,  $B'_{nm}$  — коэффициенты разложения гравитационного поля Земли по сферическим функциям.

Из формул (11) и (13) получаем значения поправок:

$$\Delta C_{n0} = \frac{A_{n0} a_0^2 4\pi \delta}{M(2n+1)}; \quad \Delta C_{nm} = \frac{A_{nm} a_0^2 4\pi \delta}{M(2n+1)}; \quad \Delta d_{nm} = \frac{B_{nm} a_0^2 4\pi \delta}{M(2n+1)}. \quad (15)$$

По формулам (15) мы вычислили  $\Delta C_{n0}$ ,  $\Delta C_{nm}$ ,  $\Delta d_{nm}$  с учетом членов до четвертого порядка включительно для 30 дат января, февраля и марта 1958 г., используя значения  $A_{n0}$ ,  $A_{nm}$ ,  $B_{nm}$ , полученные в работе [3]. Максимальное значение  $\Delta C_{20}$  равно  $-23,2710^{-10}$ , а  $\Delta C_{00} = -22,0910^{-10}$ ; с увеличением порядка разложения величины  $\Delta C_{n0}$ ,  $\Delta C_{nm}$ ,  $\Delta d_{nm}$  уменьшаются. Это свидетельствует о том, что при современной точности определения коэффициентов  $A'_{n0}$ ,  $A'_{nm}$ ,  $B'_{nm}$  разложения потенциала притяжения Земли по шаровым функциям, поправкой за перераспределение атмосферных масс не всегда можно пренебрегать.

Автор выражает благодарность проф. Н. К. Мигалю и проф. Г. А. Мещерякову за постановку задачи и внимание к работе.

**Список литературы:** 1. Идельсон Н. И. Теория потенциала. М.—Л., ГГИ, 1932. 2. Жонголович И. Д. Потенциал земного притяжения. — «Бюлл. ИТА», IV, 1957, № 8 (81). 3. Дячик Л. Н. Разложение в ряд по сферическим функциям аномалий атмосферного давления. — «Геодезия, картография и аэрофотосъемка», 1973, вып. 17. 4. Жонголович И. Д. Об определении размеров земного эллипсоида. — «Тр. ИТА», 1956, № 6. 5. Ecker E., Mittermayr E. Gravity Corrections for the Influence of the Atmosphere. — «Bollettino di Geofisica», Frieste, 1969.

Работа поступила 5 мая 1977 года. Рекомендована кафедрой высшей геодезии и астрономии Львовского политехнического института.

УДК 550.312

Э. М. ЕВСЕЕВА

Львовский политехнический институт

## ТОПОГРАФО-ИЗОСТАТИЧЕСКОЕ ГРАВИТАЦИОННОЕ ВЛИЯНИЕ ДАЛЬНИХ ЗОН ( $r > 58,8$ км) НА ТЕРРИТОРИИ КАРПАТСКОГО РЕГИОНА

В результате изучения изостатического состояния Земли в целом и отдельных ее районов в частности были выявлены многие его особенности. Так, установлено, что нарушения изостатического равновесия наблюдаются в районах активного развития современных тектонических процессов. С этой точки зрения нарушение изостатического равновесия — такой же показатель современной активности того или иного региона, как и современные движения земной коры, вулканизм, сейсмичность и т. п. Анализ корелляционных связей между этими явлениями позволяет использовать данные об изостазии для решения многих задач геофизики.

Для изучения изостазии можно использовать различные методы [1]. Однако наиболее распространен классический ме-